

DEA Physique et Génie des Matériaux

---

Mastère Matériaux et Mise en Forme

---

TD Élément Finis - Solutions

P. Laure (Patrice.Laure@inln.cnrs.fr)  
Institut Non Linéaire de Nice



**Correction 0 : un peu de mathématique.**

**Ex 1** Calcul de la solution d'une edo

1)

On cherche une solution polynômiale de la forme

$$u(x) = ax^2 + bx + c$$

qui vérifie l'équation et les conditions aux limites. Ce qui donne

$$\begin{cases} -2a & = & 1 \\ c & = & 0 \\ 2a + b & = & 0 \end{cases} \quad (1)$$

et finalement

$$u(x) = x \left( -\frac{x}{2} + 1 \right) \quad (2)$$

2) On discrétise sur  $N = 5$  points ( $x_1 = 0, x_2 = 1/4, x_3 = 1/2, x_4 = 2/3, x_5 = 1$ ). On a les relations suivantes avec  $\Delta_x = 1/4$  :

$$\begin{aligned} u_1 &= 0 \\ -u_1 + 2 u_2 - u_3 &= \Delta_x^2 \\ -u_2 + 2 u_3 - u_4 &= \Delta_x^2 \\ -u_3 + 2 u_4 - u_5 &= \Delta_x^2 \\ u_3 - 4 u_4 + 3 u_5 &= 0 \end{aligned}$$

où on a approché  $u'(1)$  par  $\frac{3u_5 - 4u_4 + u_3}{2\Delta_x}$ .

On doit finalement résoudre le système matriciel suivant :

$$\begin{bmatrix} 1 & 0 & 0 & 0 & 0 \\ -1 & 2 & -1 & 0 & 0 \\ 0 & -1 & 2 & -1 & 0 \\ 0 & 0 & -1 & 2 & -1 \\ 0 & 0 & 1 & -4 & 3 \end{bmatrix} \begin{bmatrix} u_1 \\ u_2 \\ u_3 \\ u_4 \\ u_5 \end{bmatrix} = \begin{bmatrix} 0 \\ 1/16 \\ 1/16 \\ 1/16 \\ 0 \end{bmatrix} \quad (3)$$

ce qui donne

$$u_1 = 0; u_2 = 7/32; u_3 = 3/8; u_4 = 15/32; u_5 = 1/2.$$

On peut vérifier que ces valeurs correspondent à la solution (2).

On a la valeur exacte car l'approximation des dérivées par des différences finies d'ordre 2 est exacte pour un polynôme d'ordre 2.

3) Les fonctions tests sont des polynômes de degré 1 qui valent 1 en un point  $x_i$  et zéro sur les autres (voir la figure 1). On peut les définir par,

$$\begin{aligned} \phi_i(x) &= 0 & x < x_{i-1} \\ \phi_i(x) &= \frac{x - x_{i-1}}{x_i - x_{i-1}} & x_{i-1} < x < x_i \\ \phi_i(x) &= \frac{x_{i+1} - x}{x_{i+1} - x_i} & x_i < x < x_{i+1} \\ \phi_i(x) &= 0 & x_{i+1} < x \end{aligned}$$

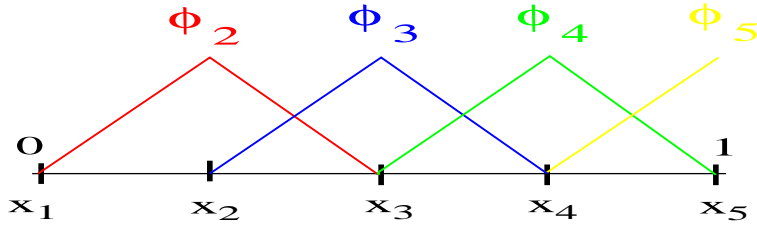


FIG. 1 – Schéma montrant les 5 fonctions tests.

Par exemple

$$\phi_2(x) = 4x \text{ pour } x < 1/4 \text{ et } \phi_2(x) = 2(1 - 2x) \text{ pour } 1/4 < x < 1/2 \text{ et zéro ailleurs}$$

La solution approchée est de la forme  $u = \sum_{j=2}^5 u_j \phi_j$  puisque les conditions aux limites impose  $u_1 = 0$ . La formulation faible s'écrit

$$\int_0^1 u v dx = \int_0^1 v dx$$

où  $v$  appartient à la base des fonctions tests. on a donc

$$\sum_{j=2}^4 u_j \int_0^1 \phi_j' \phi_i' dx = \int_0^1 \phi_i dx$$

On a par exemple

$$\begin{aligned} \int_0^1 \phi_2' \phi_2' dx &= \int_0^{1/4} 16 dx = 4 \\ \int_0^1 \phi_2 dx &= \int_0^{1/4} 4x dx + \int_{1/4}^{1/2} 2(1 - 2x) dx = 1/4 \\ \int_0^1 \phi_2' \phi_3' dx &= \int_{1/4}^{1/2} (-16) dx = -4 \\ \int_0^1 \phi_5' \phi_5' dx &= \int_{3/4}^1 16 dx = 4 \\ \int_0^1 \phi_4' \phi_5' dx &= \int_{3/4}^1 (-16) dx = -4 \end{aligned}$$

On a finalement le système matriciel suivant :

$$\begin{bmatrix} 1 & 0 & 0 & 0 & 0 \\ -4 & 8 & -4 & 0 & 0 \\ 0 & -4 & 8 & -4 & 0 \\ 0 & 0 & -4 & 8 & -4 \\ 0 & 0 & 0 & -4 & 4 \end{bmatrix} \begin{bmatrix} u_1 \\ u_2 \\ u_3 \\ u_4 \\ u_5 \end{bmatrix} = \begin{bmatrix} 0 \\ 1/4 \\ 1/4 \\ 1/4 \\ 1/4 \\ 1/8 \end{bmatrix} \quad (4)$$

Ce système est le même que celui obtenue en (3). La dernière ligne de (4) est équivalente à la somme des deux dernières lignes de (3).

**Ex 2** Les polynômes de Lagrange**1)**

(a) La surface de ce triangle est égal à

$$S = \int_{x=0}^1 \left[ \int_0^{1-x} dy \right] dx = \int_{x=0}^1 (1-x) dx = \frac{1}{2}$$

(b) Par exemple pour la première fonction, on écrit  $L_1(x, y) = a + bx + cy$  et on doit résoudre

$$\begin{cases} a & = & 1 \\ a + b & = & 0 \\ a & + c & = & 0 \end{cases}$$

ce qui donne  $L_1(x, y) = 1 - x - y$ . De la même façon, on trouve  $L_2(x, y) = x$  et  $L_3(x, y) = y$ .**2)**On trouve  $\int \int_{\mathbf{T}_{\text{ref}}} L_i dx dy = \frac{1}{6}$ **3)**(a) Si  $(\xi, \eta)$  sont les coordonnées dans le triangle de référence, on a

$$(x, y) = \sum_{i=1}^3 (x_i, y_i) L_i(\xi, \eta)$$

ou

$$\begin{pmatrix} x \\ y \end{pmatrix} = \begin{pmatrix} (1 - \xi - \eta)x_1 + \xi x_2 + \eta x_3 \\ (1 - \xi - \eta)y_1 + \xi y_2 + \eta y_3 \end{pmatrix}$$

(b) On utilise la formule qui permet de changer de coordonnée

$$S = \int_R dx dy = \int_{T^{-1}(R)} |J(T)| d\xi d\eta$$

La matrice Jacobienne de la transformation s'écrit

$$J(T) = \begin{bmatrix} \frac{\partial x}{\partial \xi} & \frac{\partial x}{\partial \eta} \\ \frac{\partial y}{\partial \xi} & \frac{\partial y}{\partial \eta} \end{bmatrix} = \begin{bmatrix} x_2 - x_1 & x_3 - x_1 \\ y_2 - y_1 & y_3 - y_1 \end{bmatrix}$$

et donc  $|J(T)| = (x_2 - x_1)(y_3 - y_1) - (x_3 - x_1)(y_2 - y_1)$  qui ne dépend pas de  $\xi$  et  $\eta$ . Finalement

$$S = \frac{(x_2 - x_1)(y_3 - y_1) - (x_3 - x_1)(y_2 - y_1)}{2}$$

**4)**(a) On a bien par construction que  $\hat{U}(A_i) = U_i$ .

(b)

$$\int \int_{T_{\text{ref}}} \hat{U}(x, y) dx dy = \sum_i U_i \int \int_{T_{\text{ref}}} L_i dx dy = \frac{U_1 + U_2 + U_3}{3} \times \frac{1}{2}$$

(c)

$$= \int \int_{T_{\text{ref}}} \hat{U}(\xi, \eta) |J(T)| d\xi d\eta = \frac{U_1 + U_2 + U_3}{3} \frac{|J(T)|}{2} = \frac{U_1 + U_2 + U_3}{3} \times \text{aire de } T_{ge}$$

On a remplacé  $U(x, y)$  par sa valeur moyenne à l'intérieur du triangle

$$\int \int_{T_{\text{ref}}} U(x, y) dx dy \sim \frac{U_1 + U_2 + U_3}{3} \times \text{aire de } T_{ge}$$

**5)**(a) On a les 4 triangles suivant définies à partir des sommet  $S_1 = (0, 0)$ ,  $S_2 = (1, 0)$ ,  $S_3 = (1, 1)$ ,  $S_4 = (0, 1)$  et  $S_5 = (1/2, 1/2)$  (voir Figure 2)

- $T_1$  dont les sommets sont  $S_1, S_2, S_5$ .
- $T_2$  dont les sommets sont  $S_2, S_3, S_5$ .
- $T_3$  dont les sommets sont  $S_3, S_4, S_5$ .
- $T_4$  dont les sommets sont  $S_4, S_1, S_5$ .

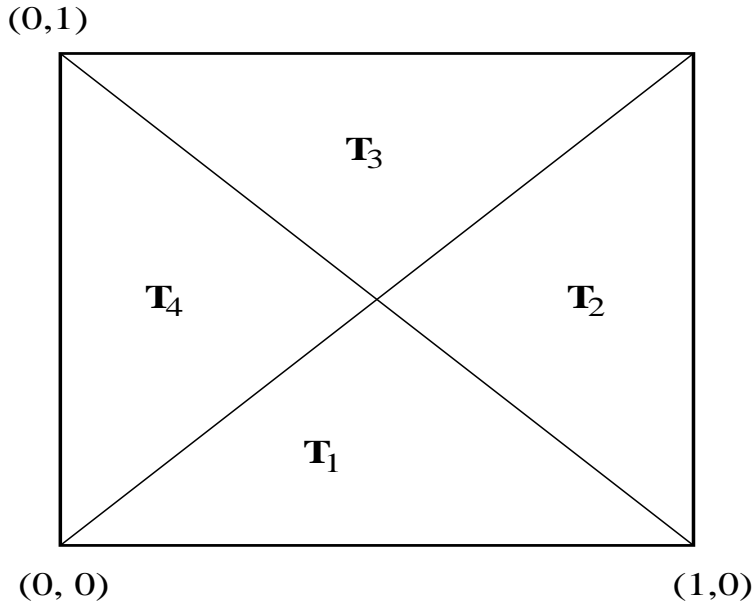


FIG. 2 - Triangulation du carré.

Comme chaque triangle a la même surface  $I_T = 1/4 = (\text{surface du carré})/4$ .

(b) La fonction  $U$  a pour valeurs en ces 5 points ( $U_i = U(S_i)$ ) :  $U_1 = 0$ ,  $U_2 = 1$ ,  $U_3 = 2$ ,  $U_4 = 1$  et  $U_5 = 1$ , donc

$$\int \int_{\text{carré}} U(x, y) dx dy = \sum_1^4 \int \int_{T_i} U(x, y) dx dy = I_T \frac{2U_1 + 2U_2 + 2U_3 + 2U_4 + 4U_5}{3} = \frac{1}{4} \frac{12}{3} = 1$$

(c) La formule permettant d'avoir une valeur approchée de la fonction  $U$  sur un triangle, suppose que l'on peut remplacer la fonction  $U$  par un polynôme du premier degré en  $x$  et  $y$ . Dans notre cas, on a  $\hat{U} = U$  sur chaque triangle, donc avec cette formule, on obtient l'intégrale exacte.

Correction 1 : Initiation à Scilab

Ex 1 *Manipulation sur les vecteurs*

1)

```
v1 = 1:.1:3
```

2)

```
v2 = 3:-.1:1
```

3)

```
v3 = (1:10)^2
```

4)

```
n = (1:10);  
un = ones(1,10);  
v4 = (- un).^n .* (n^2)
```

5)

```
un = ones(1,10)  
v5 = [0*un, un]
```

Ex 2 *Manipulation sur les Matrices*

1)

```
m = matrix(1:36,6,6)'  
m = [1:6;7:12;13:18;19:24;25:30;31:36]
```

2)

```
n = 5  
C = zeros(n,n);  
for i = 1:n  
    C(i,i) = 2;  
end;  
for i = 1:n-1  
    C(i,i+1) = -1;  
end;  
for i = 2:n  
    C(i,i-1) = -1;  
end;
```

ou dans un style plus Scilab,

```
C = 2*eye(n,n)-diag(ones(n-1,1),1)-diag(ones(n-1,1),-1)}
```

### Ex 3 *Exemple de tracé*

```
X = 0:.1:4*%pi;  
Y = sin(X) + X;  
plot2d(X,Y)  
xtitle('Exemple','x','sin(x) + x');
```

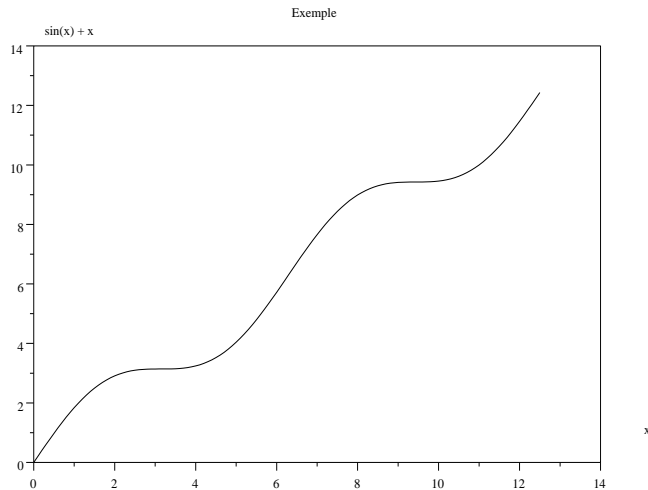


FIG. 3 – Tracé de  $f(x) = \sin x + x$ .

### Ex 4 *Ecriture d'une fonction*

```
function C = alterne2_colonne(A,B)
```

```
[n,m] = size(A)
```

```
C = []
```

```
for i=1:m
```

```
    C = [C, A(:,i), B(:,i)];
```

```
end;
```

ou avec un style plus **scilab**

```
function C = alterne2_colonne(A,B)
```

```
[n,m] = size(A)
```

```
A = matrix(A,n*m,1);
```



```

B = matrix(B,n*m,1);

C = [A B]

C = matrix(C,n,2*m);

endfunction

```

**Ex 5** *Calcul de la solution d'une edo*

1)

C'est une équation à coefficients constants : une solution particulière de l'équation est  $u_s = 1$  ; la solution générale de l'équation sans second membre  $u_0 = a e^x + b e^{-x}$ , alors la solution peut s'écrire  $u = u_s + u_0$ .

Les conditions aux limites permettent de calculer les coefficients  $a$  et  $b$  ...

2)

```

clear
n = 50;
F = ones(n,1);
A = eye(n,n);

x = matrix(linspace(0,1,n),n,1);
Dx = 1/(n-1);
u_exact = 1- (exp(x) + exp(1-x))/(1+exp(1));

// on impose les conditions aux limites

F(1) = 0;
F(n) = 0;

for i=2:n-1
    A(i,i) = A(i,i) + 2./Dx^2;
    A(i,i-1) = -1/Dx^2;
    A(i,i+1) = -1/Dx^2;
end;

u_c = A\F;
erreur = norm(u_exact-u_c)

\\ Trace de la solution

xbasc()
plot2d(x,u_c,style=[-1])

x=linspace(0,1,100);
u_exact = 1- (exp(x) + exp(1-x))/(1+exp(1));
plot2d(x,u_exact,style=[1])

xtitle('Solution','x','u(x)');

```

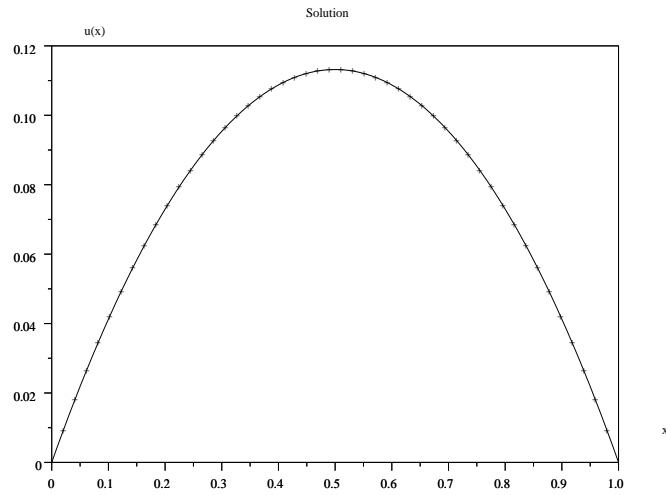


FIG. 4 – Solution du problème pour  $n = 50$  : solution exacte (-), solution calculée (+).

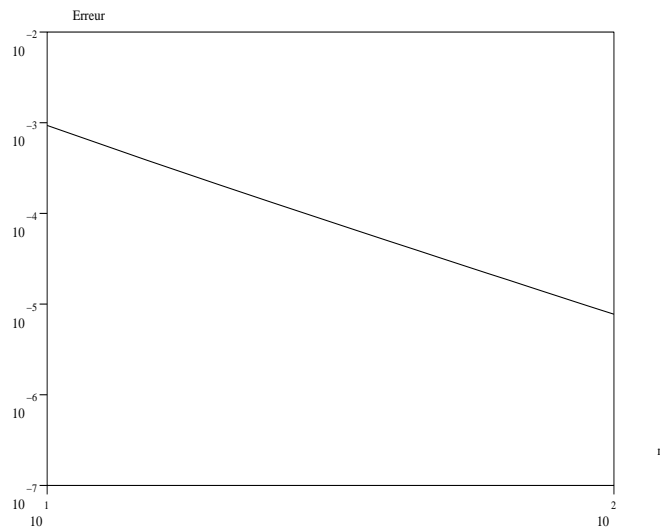


FIG. 5 – Evolution de l'erreur  $\|u - u_{exact}\|/\|u_{exact}\|$  en fonction de  $n$

**Correction 2 : Initiation aux éléments finis 1D**

**Ex 1** *Eléments Finis Unidimensionnels*

1)

La formulation faible

$$\int_0^1 (u' v' + u v) dx = \int_0^1 v dx$$

2)

Le listing complet du programme est donné à la réponse de la question 5).

Pour le calcul de COOR et de CONNEC, il faut lire les lignes 8-24.

3)

Le système élémentaire sur le  $k$ ème élément s'écrit :

$$A^k U^k = F^k \tag{5}$$

où :

$$a_{ij}^k = \int_{x_1^k}^{x_2^k} [\psi_j^{k'} \psi_i^{k'} + \psi_j^k \psi_i^k] dx = \int_{-1}^1 \left[ \left( \frac{1}{Jac^k} \right)^2 \frac{dL_j}{d\xi} \frac{dL_i}{d\xi} + L_j L_i \right] Jac^k d\xi$$

$$f_i^k = \int_{x_1^k}^{x_2^k} \psi_i^k dx = \int_{-1}^1 L_i Jac^k d\xi$$

où  $Jac^k$  est le Jacobien de la transformation

$$Jac^k = \frac{x_2^k - x_1^k}{2}$$

c.f. lignes 30-50 du listing.

4)

c.f. lignes 55-62 du listing.

5)

Listing du programme permettant la résolution avec l'élément  $P_1$  :

```

1 // on charge les programmes dont on a besoin
2 //
3 exec('P1.sci'); exec('gauss.sci');
4 // nbre de points pour l'integration numerique
5 Ng = 3;
6 [XG,PG] = gauss(Ng);
7 //
8 //
9 Nelt = 20; // nbre d'elements
10
```

```

11  Nno = 2;           // nbre de noeud par element
12
13  Npt = Nelt * (Nno-1)+1; // nbre de points
14
15  Dx = 1./(Npt-1);
16
17  COOR = matrix((0:Dx:1),Npt,1); // Coordonnees des points
18
19  CONNEC = zeros(Nelt,Nno);
20  for i=1:Nelt
21      for j=1:Nno
22          CONNEC(i,j) = j + (i-1); // matrice de connectivite
23      end;
24  end;
25  //
26  //  Fin initialisation des tableaux
27
28  A_glob = zeros(Npt,Npt); F_glob = zeros(Npt,1);
29
30  for iel = 1:Nelt
31      // calcul du sytme elementaire sur chaque element
32      A_el = zeros(Nno,Nno);
33      F_el = zeros(Nno,1);
34
35      x1 = COOR(CONNEC(iel,1)); x2 = COOR(CONNEC(iel,2));
36      jac = (x2 - x1)/2.; // le jacobien est constant sur l'element
37
38      for ig=1:Ng // boucle pour l'integration numerique
39
40          [FP,DxFP] = P1(XG(ig)); // choix des fonctions tests
41
42          DxFP = DxFP/jac;
43
44          for i=1:Nno
45              F_el(i) = F_el(i) + PG(ig)*FP(i)*jac;
46              for j=1:Nno
47                  A_el(i,j) = A_el(i,j) + PG(ig)*(DxFP(j)*DxFP(i) + FP(i)*FP(j))*jac;
48              end;
49          end;
50      end;
51      // fin calcul systeme elementaire pour l'element iel
52
53  // on doit assembler
54
55  for i=1:Nno
56      i_glob = CONNEC(iel,i);
57      F_glob(i_glob) = F_glob(i_glob) + F_el(i);
58      for j=1:Nno
59          j_glob = CONNEC(iel,j);
60          A_glob(i_glob,j_glob) = A_glob(i_glob, j_glob) + A_el(i,j);
61      end;

```

```

62     end;
63 end; // fin boucle sur les elements
64
65 //
66 // On impose les deux conditions aux limites de Diriclet
67 //     U(0) = U(1) = 0
68
69 A = [zeros(1,Npt); A_glob(2:(Npt-1),:); zeros(1,Npt)];
70 A(1,1) = 1; A(Npt,Npt) = 1;
71 F = [0; F_glob(2:(Npt-1)); 0];
72
73 u_cal = A\F;
74
75 // comparaison avec la solution exacte
76 //
77 x = COOR;
78 u_exact = 1- (exp(x) + exp(1-x))/(1+exp(1));
79 erreur = norm(u_cal-u_exact)/norm(u_exact)
80
81 xbasec();
82 plot2d(x,u_cal,style=-1);
83 x = linspace(0,1,100);
84 u_exact = 1- (exp(x) + exp(1-x))/(1+exp(1));
85 plot2d(x,u_exact,style=1);
86 xtitle('Solution P1; Nelt =' + string(Nelt) + ', Npt =' + string(Npt), 'x', 'u');
87

```

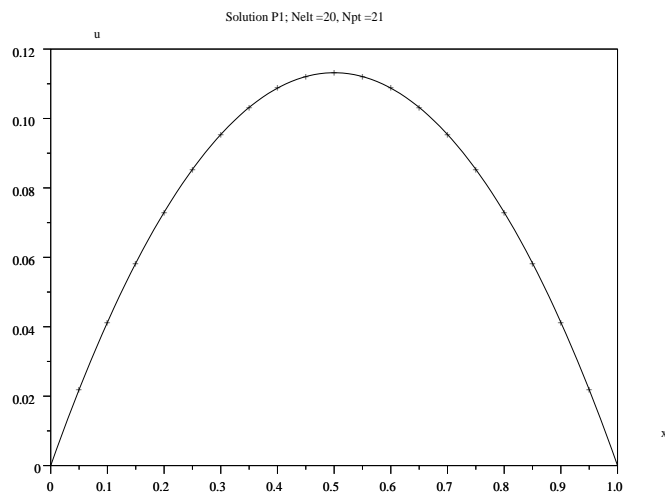


FIG. 6 – Solution du problème pour  $N_{elt} = 20$  : solution exacte (—), solution calculée (+).

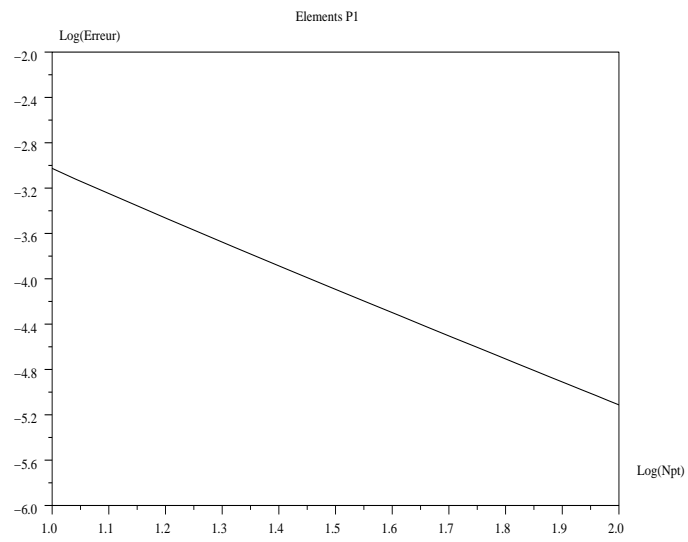


FIG. 7 – Evolution de l'erreur  $\|u - u_{exact}\|/\|u_{exact}\|$  en fonction de  $N_{pt}$

6)

Si on veut utiliser des éléments  $\mathbf{P}_2$ , les modifications sont mineures par rapport au programme précédent :

- Il faut appeler la fonction qui calcule les polynômes de Lagrange de degré 2 (Ligne 3).
- Modifier la valeur `Nno` (Ligne 11).
- Le calcul de la matrice de connectivité (Lignes 20-24).
- L'appel aux fonctions tests  $L_2$  lors de l'intégration numérique (Ligne 40).

```
3   exec('P2.sci'); exec('gauss.sci');

11  Nno = 3; // nbre de noeuds par element

20  for i=1:Nelt
21      CONNEC(i,1) = 1 + 2*(i-1);
22      CONNEC(i,2) = 3 + 2*(i-1);
23      CONNEC(i,3) = 2 + 2*(i-1);
24  end;

40  [FP,DxFP] = P2(XG(ig));
```

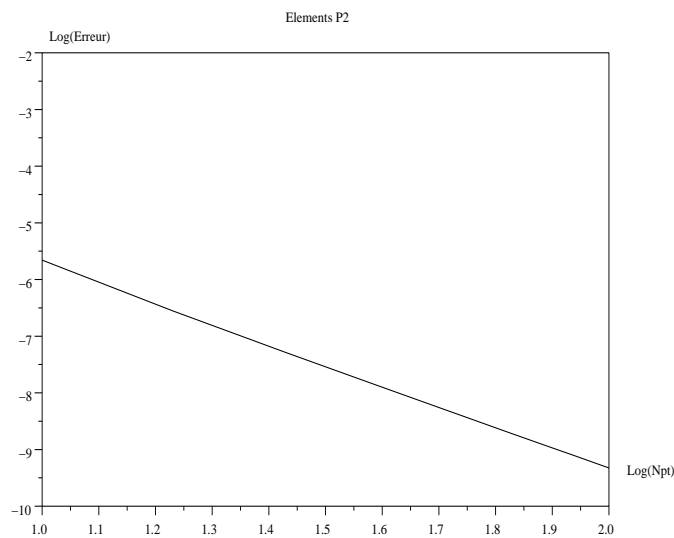


FIG. 8 – Evolution de l'erreur  $\|u - u_{exact}\|/\|u_{exact}\|$  en fonction de  $N_{pt}$  pour des éléments  $\mathbf{P}_2$ .

7)

les modifications sont les suivantes :

On libère la valeur de  $u$  en  $x = 1$  aux lignes 69-71.

```
69  A = [zeros(1,Npt); A_glob(2:Npt,:)];
70  A(1,1) = 1;
71  F = [0; F_glob(2:Npt)];
```

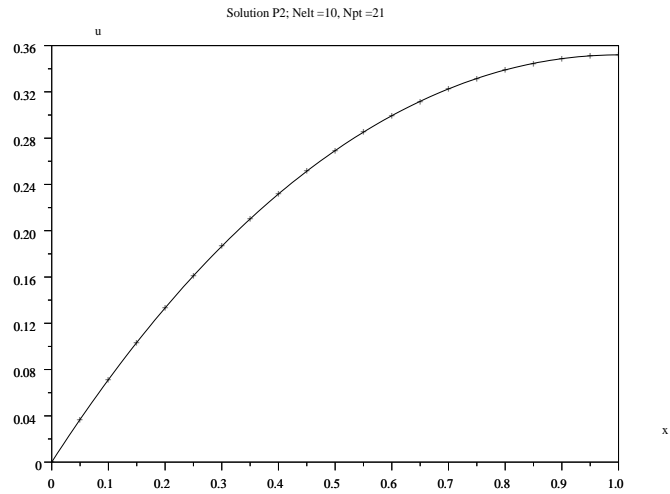


FIG. 9 – Solution du problème pour  $N_{el} = 10$  avec des éléments  $\mathbf{P}_2$  : solution exacte (–), solution calculée (+).



**Correction 3 : Initiation aux éléments finis 2D**

**Ex 1** *Ecoulements de Poiseuille*

1)

La formulation faible

$$\int_0^1 \int_0^1 \left( \frac{\partial u}{\partial x} \frac{\partial v}{\partial x} + \frac{\partial u}{\partial y} \frac{\partial v}{\partial y} \right) dx dy = \int_0^1 \int_0^1 f v dx dy + \int_0^1 \left[ \frac{\partial u}{\partial x} v \right]_{x=0}^{x=1} dy + \int_0^1 \left[ \frac{\partial u}{\partial y} v \right]_{y=0}^{y=1} dx$$

Sur chaque élément, on obtient le système élémentaire  $\mathbf{N} \mathbf{u} = \mathbf{F}$  suivant

$$\mathbf{A}^k \mathbf{U}^k = \mathbf{F}^k \tag{6}$$

où :

$$a_{ij}^k = \int \int_{\mathbf{K}} [\nabla \psi_j^k]^T [\nabla \psi_i^k] dx dy \quad \text{avec} \quad [\nabla \psi_j^k] = \begin{pmatrix} \frac{\partial \psi_j^k}{\partial x} \\ \frac{\partial \psi_j^k}{\partial y} \end{pmatrix}$$

$$f_i^k = \int \int_{\mathbf{K}} \psi_i^k dx dy$$

2)

La matrice Jacobienne

$$DT_k = \begin{pmatrix} \sum_{j=1}^4 x_j^k \frac{\partial L_j}{\partial \xi} & \sum_{j=1}^4 x_j^k \frac{\partial L_j}{\partial \eta} \\ \sum_{j=1}^4 y_j^k \frac{\partial L_j}{\partial \xi} & \sum_{j=1}^4 y_j^k \frac{\partial L_j}{\partial \eta} \end{pmatrix}$$

Ce qui donne le programme

```
x = COOR(CONNEC(iel,:),1); y = COOR(CONNEC(iel,:),2);

[F,DxiFP,DetaFP] = Q1(xg,yg); // on evalue les fonctions de Lagrange au point (xg,yg)

j11 = x(1:4)'*DxiFP; // = sum_j x_j^k dL_j/dxi
j12 = x(1:4)'*DetaFP;
j21 = y(1:4)'*DxiFP;
j22 = y(1:4)'*DetaFP;
//
DT = [j11 j12; j21 j22];
```

3)

Listing du programme

```
1 clear; xdel(0); xdel(1);
2 // on charge les programmes dont on a besoin
3 //
4 exec('Q1.sci'); exec('Q2.sci'); exec('gauss.sci');
5 exec('maillage_2D_Q2.sci');
6 exec('cal_indice.sci'); exec('interpol.sci');
7 exec('trace_maillage_2D.sci'); exec('trace_u_2D.sci');
8
9 //
10 // nbre de points pour l'integration numerique
11 Ng = 3;
12 [XG,PG] = gauss(Ng);
13 //
14 nx = 10; ny = 10; // nbre d'element dans les directions x et y
15 lx = 1.; ly = 1.; // taille du carre
16
17 [CONNEC,COOR,Nelt,Nno,Npt] = maillage_2D_Q2(1,1,nx,ny);
18 trace_maillage_2D(CONNEC,COOR,0);
19
20 //
21 // creation de la matrice NUMER et ADRESS
22 //
23 // Conditions aux limites
24 // u = 0 sur tout le bord
25 NUMER=zeros(Npt,1);
26 NI = 0;
27 nc = 0;
28 for i=1:Npt
29     x = COOR(i,1); y = COOR(i,2);
30     if x <> 0 & x <> 1 & y <> 0 & y <> 1 then
31         NI = NI+1;
32         NUMER(i) = NI;
33     else
34         NUMER(i) = Npt-nc;
35         nc = nc + 1;
36     end;
37 end;
38 //
39 // creation de la matrice ADRESS
40 //
41 ADRESS = zeros(Nelt,Nno);
42 for i =1:Nelt
43     for j = 1:Nno
44         ADRESS(i,j) = NUMER(CONNEC(i,j));
45     end;
46 end;
```

```

47 //
48 //  creation du vecteur UC
49 //
50 UC = zeros(Npt-NI,1);
51
52 //
53 //   Fin initialisation des tableaux
54
55 A_glob = spzeros(Npt,Npt); F_glob = zeros(Npt,1);
56
57 for iel = 1:Nelt // boucle sur les elements
58 //
59 // -----
60 //  PARTIE  A ECRIRE
61 //-----
62 // calcul du sytème elementaire sur chaque element
63 //
64     A_el = zeros(Nno,Nno);
65     F_el = zeros(Nno,1);
66
67     x = COOR(CONNEC(iel,:),1); y = COOR(CONNEC(iel,:),2);
68
69
70     for ig=1:Ng // double boucle pour l'integration numerique
71         xg = XG(ig);
72         for jg=1:Ng
73             yg = XG(jg);
74 //
75 // calcul de la matrice jacobienne
76 //
77             [F,DxiFP,DetaFP] = Q1(xg,yg);
78             j11 = x(1:4)'*DxiFP;
79             j12 = x(1:4)'*DetaFP;
80             j21 = y(1:4)'*DxiFP;
81             j22 = y(1:4)'*DetaFP;
82 //
83             DT = [j11 j12; j21 j22];
84             jac = det(DT);
85             B = inv(DT)';
86 //
87             [FP,DxiFP,DetaFP] = Q2(xg,yg);
88
89             for i=1:Nno
90                 DFPi = B*[DxiFP(i); DetaFP(i)];
91                 F_el(i) = F_el(i) + PG(ig)*PG(jg)*FP(i)*jac;
92                 for j=1:Nno
93                     DFPj = B*[DxiFP(j); DetaFP(j)];
94                     A_el(i,j) = A_el(i,j) + PG(ig)*PG(jg)*( DFPj' * DFPi ) *jac;
95                 end;
96             end;
97         end;

```

```

98     end;
99     //
100    // fin calcul systeme elementaire pour l'element iel
101    //
102    //-----
103    //  FIN PARTIE A ECRIRE
104    //-----
105    // on doit assembler
106
107    for i=1:Nno
108        i_glob = ADRESS(iel,i);
109        F_glob(i_glob) = F_glob(i_glob) + F_el(i);
110    end;
111
112    A_el=sparse(A_el);
113    [ij,v,mn] = spget(A_el);
114    for i = 1:length(v)
115        ij(i,1) = ADRESS(iel,ij(i,1));
116        ij(i,2) = ADRESS(iel,ij(i,2));
117    end;
118    A_el = sparse(ij,v,[Npt Npt]);
119    A_glob = A_glob + A_el;
120
121    end; // fin boucle sur les elements
122
123
124    A = A_glob(1:NI,1:NI); F = F_glob(1:NI);
125    M12 = A_glob(1:NI,NI+1:$);
126    F = F - M12*UC;
127
128    [h,rk] = lufact(A);
129    U = lusolve(h,F);
130    ludel(h);
131
132    u_cal = [U; UC];
133
134    [u,x,y]=trace_u_2D(u_cal,COOR,NUMER,1,20,20);

```

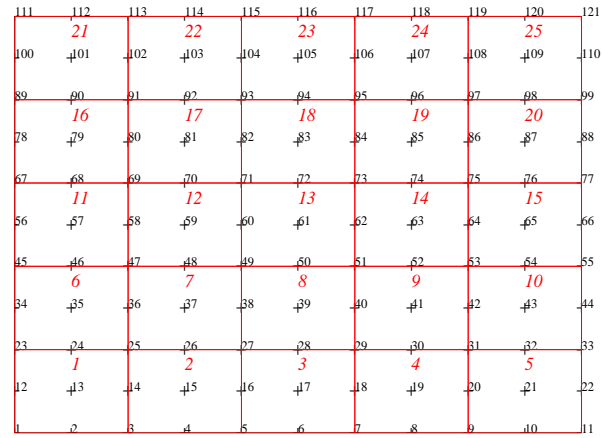


FIG. 10 – Exemple de maillage avec  $N_{elt} = 25$  et  $N_{pt} = 121$ .

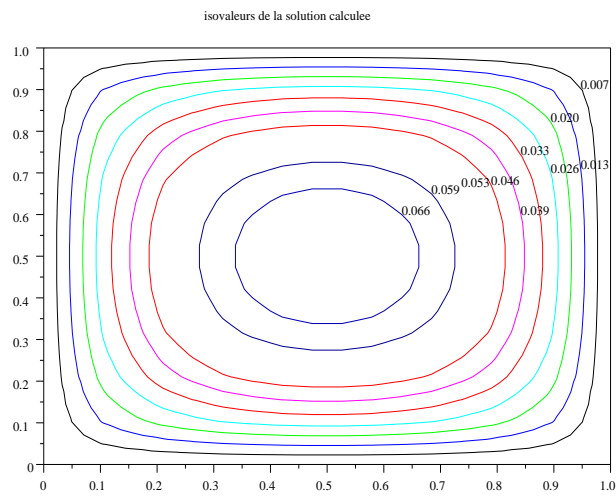


FIG. 11 – Solution du problème pour avec  $N_{elt} = 100$  et  $N_{pt} = 441$ .

4)

La formule qui donne le débit est :

$$q = \int_0^1 \int_0^1 u(x, y) dx dy = \sum_{k=1}^{N_{elt}} \left( \sum_{j=1}^{N_{no}} u_j^k \int_{-1}^1 L_j(\xi, \eta) Jac^k d\xi d\eta \right)$$

avec  $u|_{K_k} = \sum_{j=1}^{N_{no}} u_j^k \psi_j^k(x, y)$ .

On trouve  $q = .0351$  avec le programme suivant :

```
function q = cal_debit_2D(U,COOR, CONNEC, NUMER, ADRESS)
//
[Nelt, Nno] = size(CONNEC);
Npt = length(COOR);

q = 0.;
for iel = 1:Nelt

    x = COOR(CONNEC(iel,:),1); y = COOR(CONNEC(iel,:),2);
    u_el = U(ADRESS(iel,:))

    for ig=1:Ng // double boucle pour l'integration numerique
        xg = XG(ig);
        for jg=1:Ng
            yg = XG(jg);
//
// calcul de la matrice jacobienne
//
            [F,DxiFP,DetaFP] = Q1(xg,yg);
            j11 = x(1:4)'*DxiFP;
            j12 = x(1:4)'*DetaFP;
            j21 = y(1:4)'*DxiFP;
            j22 = y(1:4)'*DetaFP;
//
            DT = [j11 j12; j21 j22];
            jac = det(DT);
//
            [FP,DxiFP,DetaFP] = Q2(xg,yg);
//
            for i=1:Nno
                q = q + PG(ig)*PG(jg) * u_el(i)*FP(i) * jac;
            end;
        end;
    end;
end; // fin boucle sur les elements

endfunction
```

5)

Il faut changer le calcul de la matrice NUMER à la ligne 28. Il faut “libérer” les degrés de liberté qui sont situés sur les bords  $x = 0$  et  $1$ . on remplace la condition

```
if x <> 0 & x <> 1 & y <> 0 & y <> 1 then
```

par

```
if y <> 0 & y <> 1 then
```

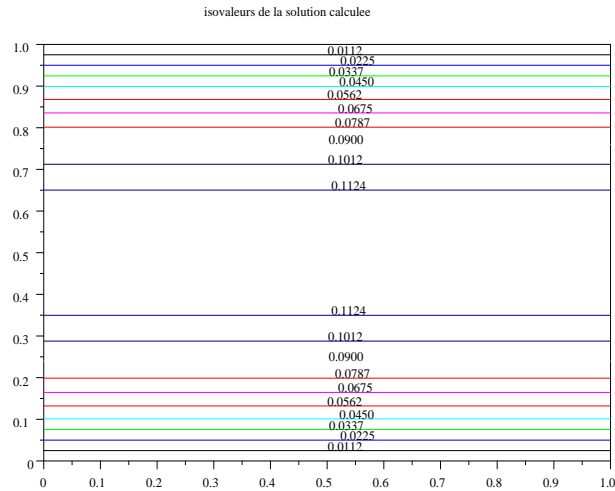


FIG. 12 – Solution de la question 5) pour avec  $N_{elt} = 100$  et  $N_{pt} = 441$ .

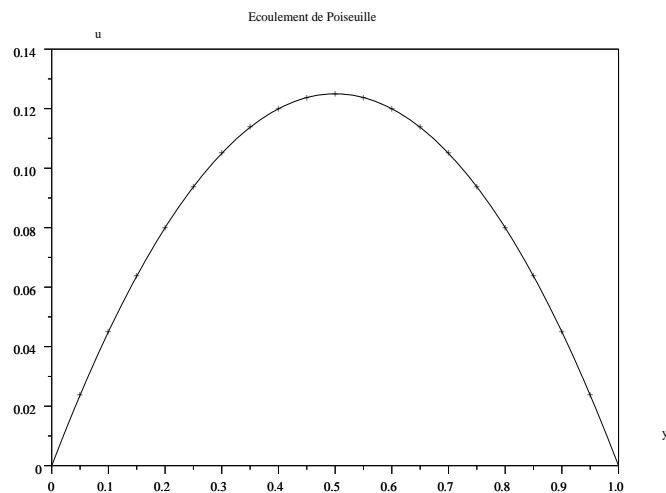


FIG. 13 – Comparaison entre la solution calculée (+) et la solution analytique  $u_e = y(y - 1)/2$  pour une valeur de  $x$  fixée.

## Ex 2 *Ecoulement analytique*

1)

La formulation faible

$$\int_0^1 \int_0^1 \left( \frac{\partial u}{\partial x} \frac{\partial v}{\partial x} + \frac{\partial u}{\partial y} \frac{\partial v}{\partial y} \right) dx dy + 3 \int_0^1 \int_0^1 u v dx dy = 0$$

2)

Le programme est essentiellement le même que pour l'exercice précédent. Il suffit d'imposer les conditions aux limites de Diriclet correctement

```
UC = zeros(Npt-NI,1);
for i=1:Npt
  x = COOR(i,1); y = COOR(i,2);
  if y == 0 | y == 1 | x == 0 | x == 1 then
    UC(NUMER(i)-NI) = exp(2*x) * sin(y);
  end;
end;
```

et de calculer correctement la matrice élémentaire

```
A_el(i,j) = A_el(i,j) + ...
  PG(ig)*PG(jg)*( DFPj(1)*DFPi(1) + DFPj(2)*DFPi(2) + 3*FP(j)*FP(i) ) *jac;
```

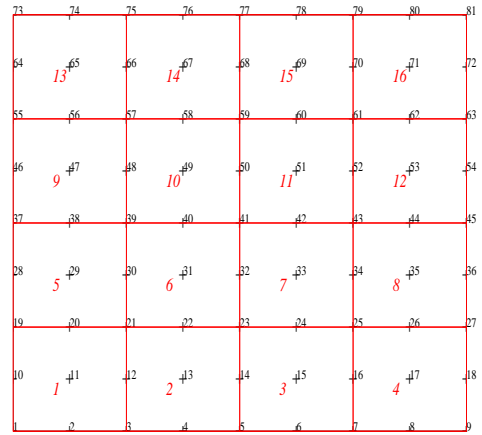
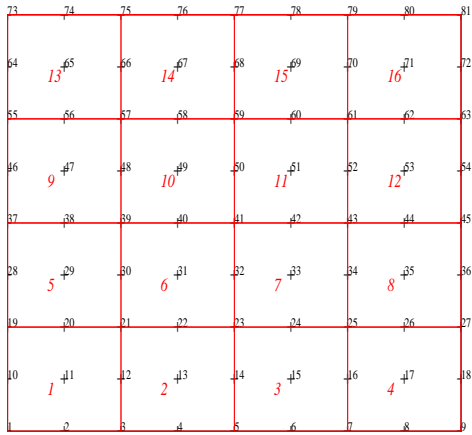
Si on utilise des éléments  $\mathbf{P}_1$ , il faut utiliser la quadrature de Hammer et la fonction `hammer.sci` pour avoir les points d'intégration.

Quelques exemples de calcul sont rassemblés dans le tableau suivant :

	Npt	Nelt	Nno	$\ u_c - u_a\ /\ u_a\ $
$\mathbf{Q}_1$	81	64	4	$5.05 \cdot 10^{-4}$
$\mathbf{Q}_2$	81	16	9	$1.40 \cdot 10^{-5}$
$\mathbf{P}_1$	81	128	3	$5.15 \cdot 10^{-4}$

TAB. 1 – Erreur relative  $\|u_c - u_a\|/\|u_a\|$  en fonction des éléments choisis.





U

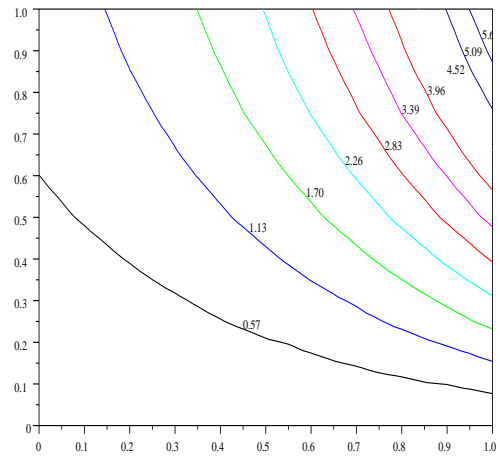
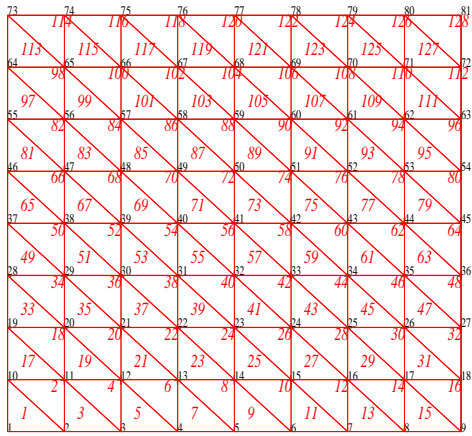


FIG. 14 – Les différents maillages et la solution : (a)  $\mathbf{Q}_1$  ; (b)  $\mathbf{Q}_2$  ; (c)  $\mathbf{P}_1$  ; (d)  $u(x, y)$ .